

# СПЕКТРАЛЬНЫЕ И СТРУКТУРНЫЕ ХАРАКТЕРИСТИКИ ДЛЯ КЛАСТЕРНЫХ СИСТЕМ ЗАРЯЖЕННЫХ БРОУНОВСКИХ ЧАСТИЦ

*O. C. Ваулина\*, Э. А. Саметов*

*Объединенный институт высоких температур Российской академии наук  
125412, Москва, Россия*

*Московский физико-технический институт  
141700, Долгопрудный, Московская обл., Россия*

Поступила в редакцию 13 марта 2018 г.

Представлены результаты аналитического и численного исследований динамики ограниченных ансамблей заряженных броуновских частиц в потенциальном поле электростатической ловушки. Моделирование выполнялось для кластерных систем, состоящих из частиц с кулоновским взаимодействием (приблизительно до тысячи), в широком диапазоне их параметров. Выполнено сравнение спектральных и структурных характеристик моделируемых систем. Представлен анализ зависимости формы парной корреляционной функции и размеров кластерных систем от температуры и количества частиц. Исследована связь спектральной плотности смещений центра масс и отдельных частиц со структурными характеристиками и параметром неидеальности моделируемых ансамблей.

**DOI:** 10.1134/S0044451018080199

## 1. ВВЕДЕНИЕ

Броуновское движение в системах взаимодействующих частиц широко распространено в природе и наблюдается, например, в биологических и полимерных коллоидных растворах, в плазме продуктов горения, в атмосфере Земли и т. д. [1–6]. Однако на настоящий момент аналитические модели для броуновской динамики частиц разработаны только для двух простейших случаев: невзаимодействующие частицы и одиночная заряженная частица, движение которой ограничено потенциальным полем ловушки. Анализ этих задач не позволяет исследовать влияние числа взаимодействующих частиц,  $N$ , на характер их броуновского движения. Для этой цели широко используется численное моделирование.

Экспериментальный, теоретический и численный анализы теплового движения взаимодействующих пылевых частиц в протяженных и ограниченных ансамблях, формирующихся в газоразрядной плазме, представлены в работах [7–13]. Отметим,

что в обычных тлеющих разрядах (как переменного, так и постоянного тока) в центре газоразрядных камер наблюдается некоторое превышение концентрации ионов плазмы над ее электронной концентрацией [14]. Данное обстоятельство приводит к формированию эффективных ловушек для отрицательно заряженных частиц пыли [5, 6].

Тем не менее, несмотря на большое количество работ по исследованию динамики заряженных броуновских частиц в потенциальных полях электрических ловушек [7–13, 15–18], некоторые вопросы на настоящий момент остаются невыясненными. Например, зависимость формы парной корреляционной функции от температуры взаимодействующих частиц в ограниченных ансамблях, спектральная плотность смещений отдельных частиц как в кластерных, так и в протяженных ансамблях, а также ее связь со структурными характеристиками и параметром неидеальности исследуемых систем и т. д.

В настоящей работе представлены результаты аналитического и численного исследований динамики ограниченных ансамблей заряженных броуновских частиц в потенциальном поле электростатической ловушки. Так, в разд. 2 представлены результаты решения уравнения движения заряженной броу-

---

\* E-mail: olga.vaulina@bk.ru

новской частицы в потенциальном поле электростатической ловушки, а также аналитические приближения для спектра колебаний и парной корреляционной функции ансамблей частиц. В разд. 3 приводятся результаты численного моделирования для систем, состоящих из заряженных частиц, взаимодействующих по закону Кулона, количество которых составляет от одной до 500. Вычисления выполнялись для частиц различных масс  $M$  и зарядов  $Q$  в широком диапазоне температур  $T$  и при различных коэффициентах трения  $\nu$  частиц за счет их столкновений с нейтральными частицами буферного газа.

## 2. ОСНОВНЫЕ УРАВНЕНИЯ

Запишем уравнение движения (уравнение Ланжевена) для одной заряженной частицы массой  $M$  и зарядом  $Q$  в постоянном электрическом поле линейной изотропной ловушки  $\mathbf{E} = [E_x, E_y, E_z]$  под воздействием случайной силы  $\mathbf{F}_b = [F_{bx}, F_{by}, F_{bz}]$ , которая является источником стохастической (тепловой) энергии частиц:

$$\frac{dV_x}{dt} = -\nu V_x - \omega_t^2 x + \frac{F_{bx}}{M}. \quad (1)$$

Здесь  $x = x(t)$  — смещение частицы от ее положения равновесия на одну степень свободы,  $V_x(t) = dx/dt$  — скорость частицы,  $\nu$  — коэффициент трения заряженных частиц из-за их столкновений с нейтральными частицами окружающего газа,  $\omega_t = (Q\alpha/M)^{1/2}$  — характерная частота ловушки,  $\alpha$  — величина градиента внешнего электрического поля  $\mathbf{E}$ .

Средний квадрат отклонений  $\langle x(t)^2 \rangle$  от положения равновесия такой частицы, среднеквадратичное смещение частицы от ее начального положения  $\langle \Delta x(t)^2 \rangle$  и автокорреляционная функция  $\langle x(0)x(t) \rangle$  могут быть представлены в форме [7, 8, 19]

$$\begin{aligned} \langle x(t)^2 \rangle &= \frac{T}{M\omega_t^2} \times \\ &\times \left[ 1 - \exp\left(-\frac{\nu t}{2}\right) \left( \operatorname{ch}(\nu t \psi) + \frac{\operatorname{sh}(\nu t \psi)}{2\psi} \right) \right], \end{aligned} \quad (2)$$

$$\begin{aligned} \langle \Delta x(t)^2 \rangle &\equiv \langle (x(t) - x(0))^2 \rangle = \frac{2T}{M\omega_t^2} \times \\ &\times \left[ 1 - \exp\left(-\frac{\nu t}{2}\right) \left( \operatorname{ch}(\nu t \psi^*) + \frac{\operatorname{sh}(\nu t \psi^*)}{2\psi^*} \right) \right], \end{aligned} \quad (3)$$

$$\begin{aligned} \langle x(0)x(t) \rangle &= \frac{2T}{M\omega_t^2} \times \\ &\times \left[ \exp\left(-\frac{\nu t}{2}\right) \left( \operatorname{ch}(\nu t \psi^*) + \frac{\operatorname{sh}(\nu t \psi^*)}{2\psi^*} \right) \right]. \end{aligned} \quad (4)$$

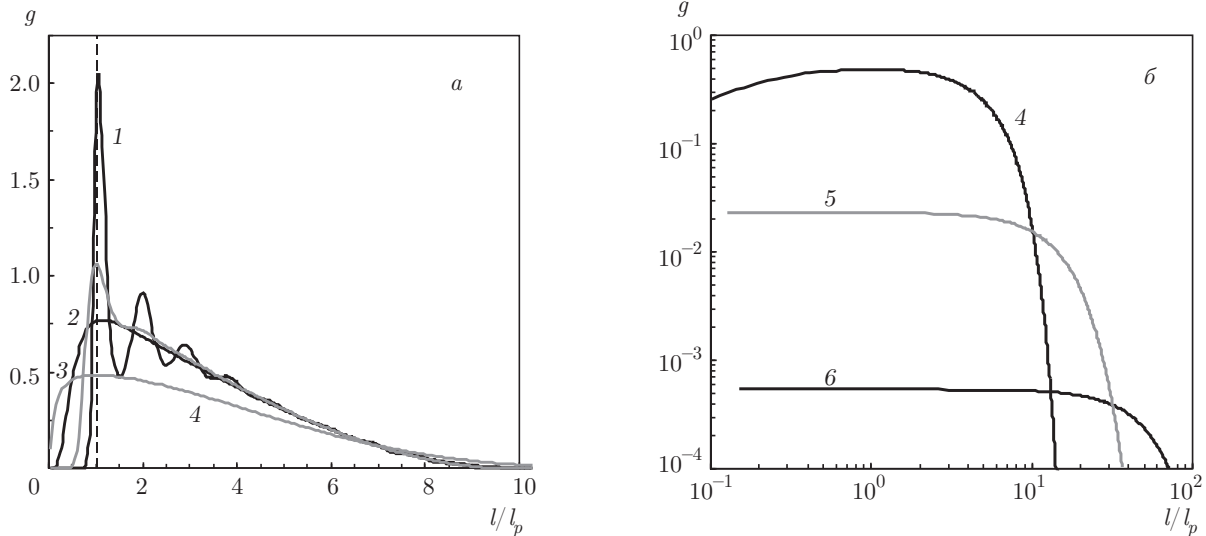
Здесь и далее  $T$  — температура частиц в энергетических единицах,  $\psi = (1 - 8\xi^2)^{1/2}/2$ ,  $\psi^* = (1 - 4\xi^2)^{1/2}/2$ ,  $\xi = \omega_t/\nu$ , а угловые скобки  $\langle \dots \rangle$  обозначают усреднение по всем отрезкам времени, равным  $t$ .

Для анализа теплового движения взаимодействующих пылевых частиц удобно пользоваться еще одной характеристикой случайных процессов, а именно, спектральной плотностью. Спектральная плотность определяется как преобразование Фурье автокорреляционной функции физических характеристик анализируемого процесса. При этом спектральная плотность случайного процесса является косинус-преобразованием Фурье для соответствующей автокорреляционной функции [19, 20]. Таким образом, спектральная плотность для смещений заряженной частицы в ловушке (спектральная плотность классического осциллятора) может быть записана как [4, 21, 22]

$$G(\omega) = \frac{2\nu T/M}{\omega^4 + (\nu^2 - 2\omega_t^2)\omega^2 + \omega^4}, \quad (5)$$

что, соответственно, является косинус-преобразованием Фурье для функции (4). Добавим также, что уравнения типа (1) могут использоваться для анализа движения центра масс для произвольного ансамбля частиц с попарным взаимодействием, а также для любой частицы в ограниченной системе, когда влиянием межчастичного взаимодействия можно пренебречь.

Для анализа физических свойств однородных структур заряженных частиц (т. е. систем, которые можно характеризовать постоянной концентрацией  $n$ ) широко используется параметр неидеальности  $\Gamma = Q^2 n^{1/3}/T$ . При этом в линейном электрическом поле концентрация частиц может быть получена из уравнения Пуассона:  $n \cong 3\alpha/4\pi Q$ , и, соответственно, для среднего межчастичного расстояния имеет место соотношение  $l_p \cong (4\pi Q/3\alpha)^{1/3}$ , а для оценки радиуса ограниченной структуры (в первом приближении) можно использовать соотношение  $R \cong (3N/4\pi n)^{1/3}$ , где  $N$  — число частиц в системе. По своей сути, величина  $R$  является минимальным радиусом такой структуры. Реальный (эффективный) радиус ансамбля будет расти с увеличением температуры частиц. При этом расстояние между частицами системы будет также расти и меняться в пространстве. Последнее обстоятельство не позволяет характеризовать систему постоянным значением  $n$  (а соответственно, постоянной величиной  $l_p$ ). Таким образом, параметр неидеальности в виде  $\Gamma = Q^2 n^{1/3}/T \equiv Q^2/l_p T$  не будет отражать



**Рис. 1.** Парная корреляционная функция  $g(l/l_p)$  для ансамблей из  $N = 500$  частиц с различными параметрами  $\Gamma = 90$  (1), 9 (2), 0.9 (3), 0.09 (4), 0.009 (5), 0.0009 (6). Здесь  $l_p \cong (4\pi Q/3\alpha)^{1/3}$

физических свойств анализируемых неоднородных систем.

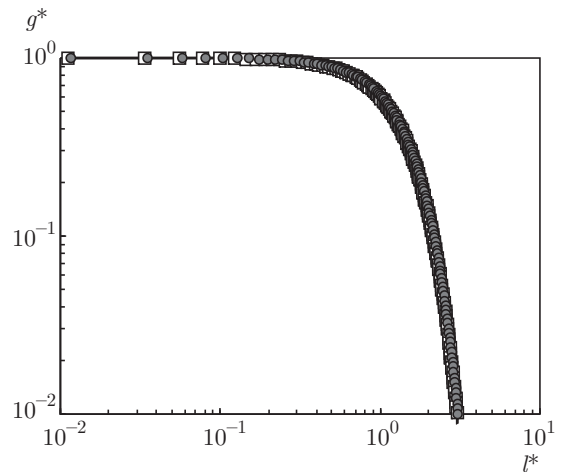
Для анализа слабонеидеальных ограниченных систем (размер которых зависит от температуры частиц) можно ввести дополнительный параметр  $\gamma = \delta x/R$ , где  $R = (3N/4\pi n)^{1/3}$  — радиус однородной структуры при  $T \rightarrow 0$ , а  $\delta x^2 = T/(M\omega_t^2)$  — средний квадрат теплового смещения отдельной частицы относительно центра ловушки,  $\langle x(t)^2 \rangle$ , при  $t \rightarrow \infty$ , см. (2). Легко предположить, что при  $\gamma \approx 1$  (или  $\gamma \geq 1$ ) формирование однородных ограниченных структур окажется невозможным.

Что касается протяженных систем и ограниченных ансамблей, состоящих из  $N$  частиц,  $N \gg 1$ , то для анализа их структурных характеристик широко используется парная корреляционная функция. Парная корреляционная функция  $g(l)$  определяет вероятность нахождения двух частиц на расстоянии  $l$  друг от друга и является мерой трансляционного порядка в системе взаимодействующих частиц. При этом для протяженных и однородных систем, которые можно характеризовать постоянной концентрацией  $n$ , имеет место соотношение

$$N_R = 4\pi n \int_0^R g(l) l^2 dl, \quad (6)$$

где  $N_R$  — число частиц в сфере радиусом  $R$ .

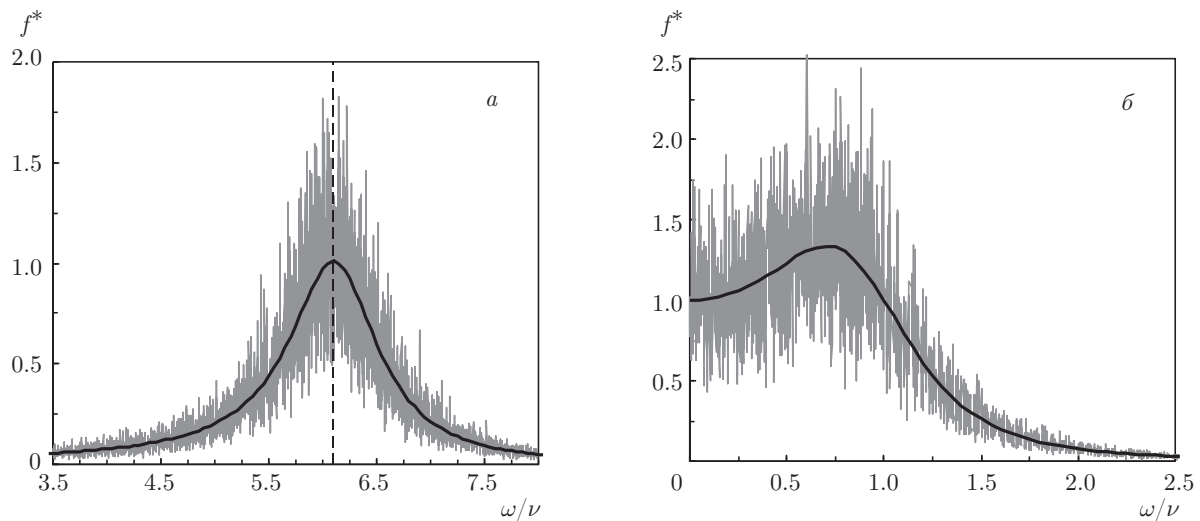
В случае слабонеидеальных систем  $\Gamma \ll 1$ , парная корреляционная функция может быть представлена как [23]



**Рис. 2.** Нормированная парная корреляционная функция  $g^* = g(l)/g_{max}$  в зависимости от  $l^*$  для ансамблей из  $N = 500$  частиц с различными параметрами  $\Gamma = 0.009$  ( $\circ$ ), 0.0009 ( $\square$ ). Сплошная линия — аналитическое решение (7), символы — результаты численного моделирования задачи,  $g_{max}$  — максимальное значение функции  $g(l)$ ,  $l^* = l/R_T$ ,  $R_T = (2T/M\omega_t^2)^{1/2}$

$$g(l) \cong \exp \left( -\frac{Q\varphi(l)}{T} \right), \quad (7)$$

где  $\varphi(l)$  — распределение потенциала в системе частиц. Для ограниченного ансамбля частиц в ловушке (в пренебрежении их межчастичным взаимодействием) это дает



**Рис. 3.** Нормированные спектральные плотности (серые линии) для одной частицы и аналитическое решение (5) (черные линии) при  $\omega_t/\nu \approx 6.1$  (a), 1 (б); здесь  $f^*(\omega) = G(\omega)/(2T/M\omega_t^2\nu)$

$$g(l) \approx \exp\left(-\frac{Q\alpha r^2}{2T}\right) = \exp\left(-\frac{r^2}{2\delta x^2}\right), \quad (8)$$

где  $r$  — расстояние от центра ловушки, а  $\delta x^2 = T/(M\omega_t^2)$ .

Тогда число частиц в ловушке можно определить как

$$N = 4\pi n_0 \int_0^\infty \exp\left(-\frac{r^2}{2\delta x^2}\right) r^2 dr. \quad (9)$$

Иначе говоря, распределение концентрации частиц в данных условиях (при  $\Gamma \ll 1, \gamma > 1$ ) не является однородным, а подчиняется закону Больцмана:  $n(r) \cong n_0 \exp(-r^2/2\delta x^2)$ , где  $n_0 \cong N/(2\pi\delta x^2)^{3/2}$ .

### 3. РЕЗУЛЬТАТЫ ЧИСЛЕННОГО МОДЕЛИРОВАНИЯ И ИХ ОБСУЖДЕНИЕ

Численное моделирование динамики систем заряженных частиц в линейной и изотропной электростатической ловушке выполнялось методом молекуллярной динамики Ланжевена. Расчеты проводились для одной частицы ( $N = 1$ ) и для ансамблей, состоящих из  $N = 50, 250, 500$  частиц. Техника моделирования подробно описана в работах [5, 6]. Шаг интегрирования составлял от  $\Delta t \cong (40 \max[\omega_t; \nu])^{-1}$  до  $\Delta t \cong (100 \max[\omega_t; \nu])^{-1}$  в зависимости от начальных условий задачи. Время расчетов  $t_c$  после установления равновесия в моделируемых системах варьировалось от  $10^3 / \min[\omega_t; \nu]$  до  $10^4 / \min[\omega_t; \nu]$ .

Расчеты проводились для систем частиц с кулоновским взаимодействием в широком диапазоне их параметров неидеальности: от  $\Gamma \sim 0.001$  до  $\Gamma \sim 100$ . Коэффициент трения частиц  $\nu$  варьировался в пределах от  $0.1\omega_t$  до  $2.5\omega_t$ .

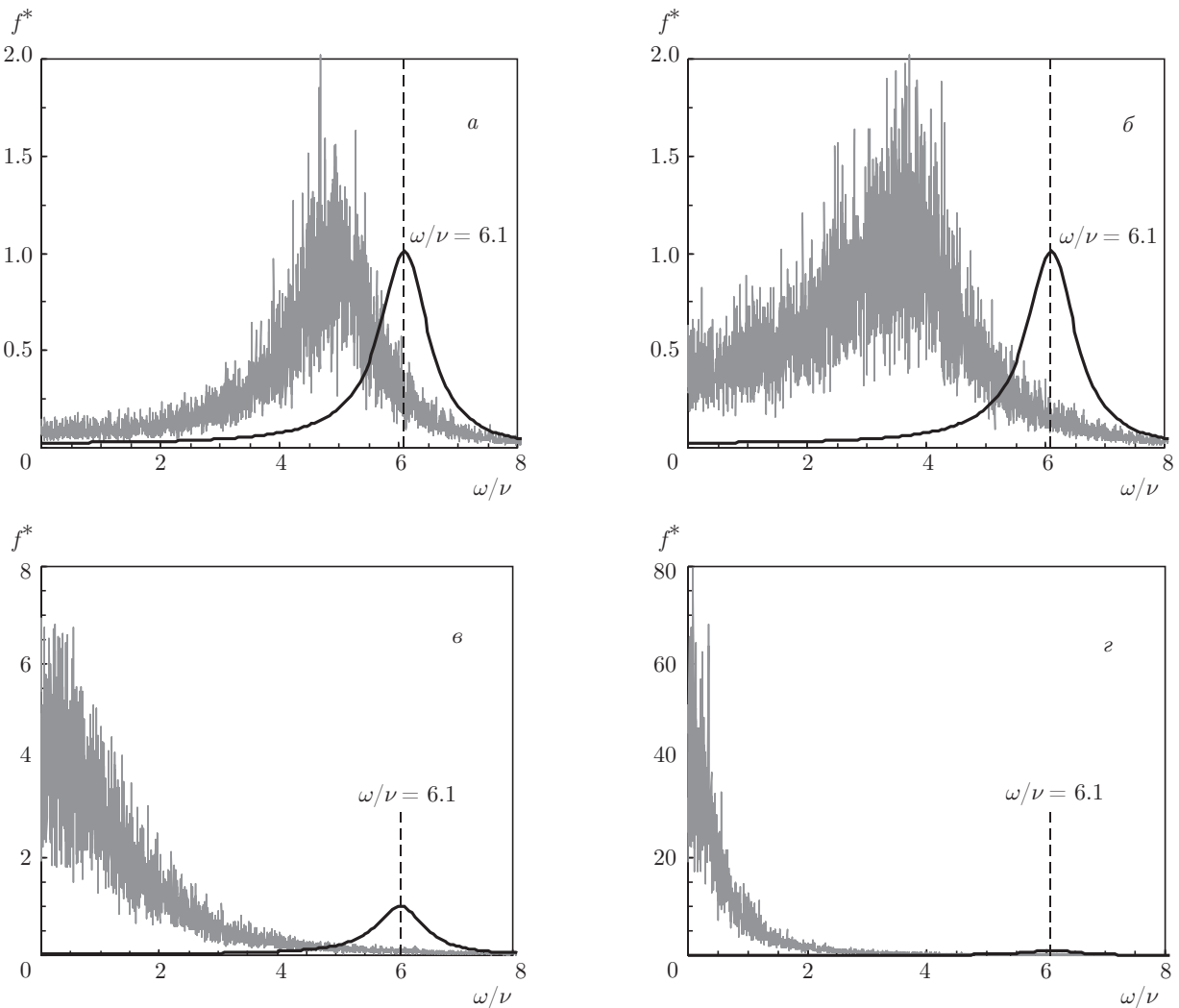
Во всех рассмотренных случаях моделируемые системы являлись устойчивыми. Температура частиц не отличалась от заданной, а их функции распределения по скоростям соответствовали распределению Максвелла. Так, при  $t \rightarrow \infty$  среднеквадратичные смещения центра масс исследуемых ансамблей от их положения равновесия по всем степеням свободы были равны

$$\langle x^2 \rangle \cong \langle y^2 \rangle \cong \langle z^2 \rangle \approx T/(NM\omega_t^2),$$

а значения среднеквадратичного смещения центра масс системы от его начального положения составляли

$$\langle (\Delta x)^2 \rangle \cong \langle (\Delta y)^2 \rangle \cong \langle (\Delta z)^2 \rangle \approx 2T/(NM\omega_t^2).$$

Парные корреляционные функции  $g(l)$  для ансамблей из  $N = 500$  частиц с различными параметрами  $\Gamma$  показаны на рис. 1. В качестве нормировки величины  $g(l)$ , представленной на этом рисунке, использовалось предположение однородной концентрации частиц, равной  $n \cong 3\alpha/(4\pi Q)$ . Легко увидеть, что первый пик функции  $g(l)$  для  $\Gamma \geq 0.1$  хорошо соответствует величине  $l_p \cong (4\pi Q/3\alpha)^{1/3}$ , полученной в приближении однородной системы, см. рис. 1a. Кроме того, численное моделирование показало, что для оценки радиуса неидеальных систем



**Рис. 4.** Нормированные спектральные плотности  $f^*(\omega/\nu)$  для отдельных частиц ансамбля (серые линии), состоящего из  $N = 50$  частиц, при  $\omega_t/\nu \approx 6.1$  и различных параметрах  $\Gamma = 0.18$  (а), 0.45 (б), 1.8 (в), 4.5 (г). Чёрными линиями показаны функции  $f_N^*(\omega) = NG(\omega)/(2T/M\omega_t^2\nu)$  для центра масс системы

при  $\Gamma \geq 1$  может быть использовано соотношение  $R \cong (3N/4\pi n)^{1/3}$ , которое имеет место для однородных систем.

С уменьшением величины  $\Gamma$  от 1 до 0.1 и далее наблюдалось увеличение размеров моделируемых ансамблей, см. рис. 1. При параметрах  $\Gamma < \Gamma^0 \sim 0.01$  ( $\gamma > 1$ ) величина эффективного радиуса системы становилась пропорциональна тепловой скорости частиц и достигала значений  $R_T = (2T/M\omega_t^2)^{1/2}$  (см. рис. 2), что соответствовало среднеквадратичному смещению одиночной частицы от ее начального положения при  $t \rightarrow \infty$  (3).

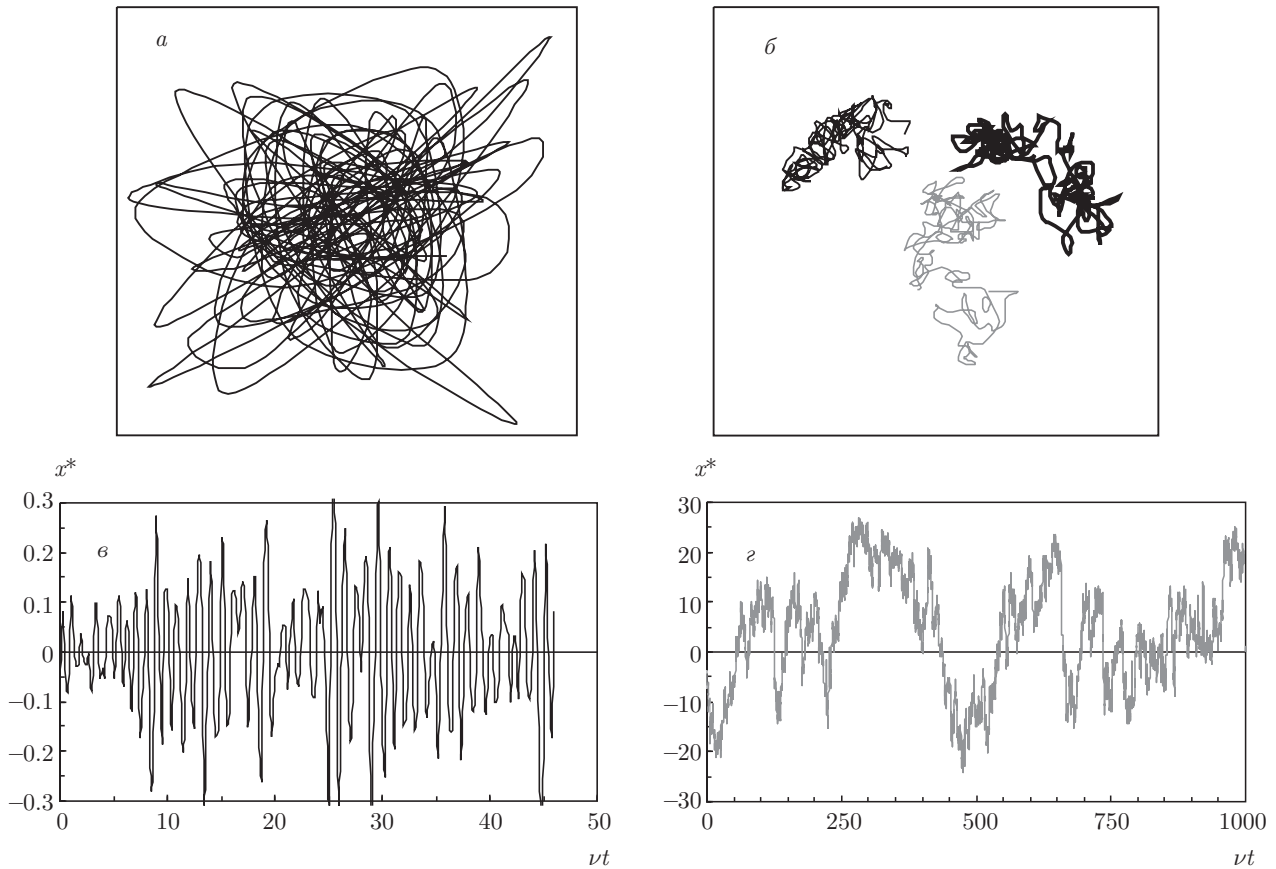
Численное моделирование показало, что для всех исследуемых систем с параметром  $\Gamma < \Gamma^0$ , содержащих  $N \geq 50$  частиц, форма функций  $g(l)$

хорошо аппроксимировалась соотношением (7), см. рис. 2. При  $t \rightarrow \infty$  для среднеквадратичных смещений отдельных частиц в таких ансамблях выполнялись соотношения

$$\langle x^2 \rangle \cong \langle y^2 \rangle \cong \langle z^2 \rangle \approx T/(M\omega_t^2),$$

$$\langle (\Delta x)^2 \rangle \cong \langle (\Delta y)^2 \rangle \cong \langle (\Delta z)^2 \rangle \approx 2T/(M\omega_t^2),$$

что полностью соответствует результатам моделирования и аналитическим решениям, полученным для одной частицы в ловушке. Отметим, что распределение концентраций частиц в ловушке при параметрах  $\Gamma < \Gamma^0$  также соответствовало формуле (7), т. е. было пропорционально нормальному распределению Гаусса. Таким образом, концентрация частиц



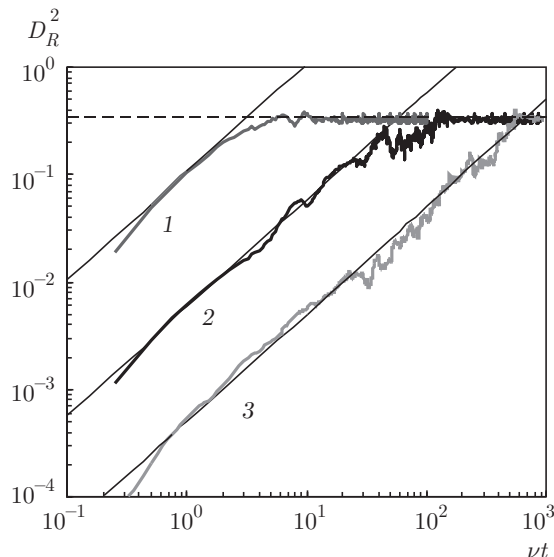
**Рис. 5.** Иллюстрация траекторий центра масс (a) и трех произвольно выбранных частиц (б) в плоскости  $[x, z]$  за время  $t \approx 50/\nu$ , а также зависимости нормированных смещений  $x^*$  центра масс (в) и произвольно выбранной частицы (г) от  $\nu t$  для системы с параметрами  $N = 50$ ,  $\omega_t/\nu \approx 6.1$ ,  $\Gamma \approx 45$ . Здесь  $x^* = x/\delta x$ ,  $\delta x \equiv (T/M\omega_t^2)^{1/2}$

была существенно неоднородна и, соответственно, параметр неидеальности  $\Gamma = Q^2/l_p T$ , где  $l_p \cong \text{const}$ , не подходит для анализа физических свойств таких систем, см. разд. 2.

Нормированные спектральные плотности  $f^*(\omega) = G(\omega)/(2T/M\omega_t^2\nu)$ , полученные для одной частицы в ловушке ( $N = 1$ ), а также аналитическое решение (5) задачи при  $\omega_t/\nu \approx 6.1$  и  $\omega_t/\nu \approx 1$  показаны на рис. 3. Отметим, что аналогичный вид  $f^*(\omega)$  имеет место и для любых произвольных частиц ансамбля при  $N > 1$  с параметрами неидеальности  $\Gamma < \Gamma^0$  ( $\gamma > 1$ ), а также для центра масс ограниченной системы при любом значении  $\Gamma$  с учетом соответствующей нормировки на количество частиц:  $f_N^*(\omega) = NG(\omega)/(2T/M\omega_t^2\nu)$ . (Вычисления спектральной плотности проводились на основе численных расчетов смещений  $x(t)$ ,  $y(t)$  и  $z(t)$  при помощи процедуры «N-D fast Fourier transform» в пакете прикладных программ MATLAB.)

Численные исследования показали, что отклонения формы спектральных распределений для отдельных частиц ансамбля от аппроксимирующей функции (5) наблюдаются при  $\Gamma > \Gamma^1 \sim 0.1$  ( $\gamma < < 10$ ). Нормированные спектральные плотности для системы, состоящей из  $N = 50$  частиц, при  $\omega_t/\nu \approx \approx 6.1$  при различных параметрах неидеальности ( $\Gamma > 0.1$ ) представлены на рис. 4. Легко заметить, что с ростом величины  $\Gamma$  характерная частота спектра смещается в сторону меньших частот относительно частоты колебаний центра масс системы. Следует отметить, что простая подгонка численных данных, полученных для отдельных частиц таких систем (при  $\Gamma > 0.1$ ), аналитическим соотношением (5) не позволяет получить физически обоснованные результаты.

Иллюстрация траекторий центра масс и трех произвольно выбранных частиц плоскости  $[x, z]$  за время  $t \approx 50/\nu$ , а также зависимость нормированных смещений  $x^*$  центра масс и произвольно вы-



**Рис. 6.** Зависимости  $D_R^2 = (\langle \Delta x^2 \rangle + \langle \Delta y^2 \rangle + \langle \Delta z^2 \rangle)/3R^2$  от  $\nu t$  для отдельных частиц системы с параметрами  $N = 50$ ,  $\omega_t/\nu \approx 6.1$  при  $\Gamma \approx 4.5$  (1),  $45$  (2), а также для системы с параметрами  $N = 500$ ,  $\omega_t/\nu \approx 1$ ,  $\Gamma \approx 12.7$  (3). Тонкие линии — функции  $f(\nu t) \propto t$ ; штриховая линия —  $\langle (\Delta x)^2 \rangle / R^2 = 1/3$

бранный частицы от  $\nu t$  представлены на рис. 5 для системы с параметрами  $N = 50$ ,  $\omega_t/\nu \approx 6.1$  и  $\Gamma \approx 45$ . При этом  $x^* = x/\delta x$ , где  $\delta x \equiv (T/M\omega_t^2)^{1/2}$ .

Зависимости отношения

$$D_R^2 = \frac{\langle \Delta x^2 \rangle + \langle \Delta y^2 \rangle + \langle \Delta z^2 \rangle}{3R^2}$$

от  $\nu t$  для отдельных частиц систем с различными параметрами  $(\omega_t/\nu, \Gamma)$ , состоящих из  $N = 50$  и  $N = 500$  частиц, показаны на рис. 6; здесь  $R = (3N/4\pi n)^{1/3}$ ,  $n = 3\alpha/(4\pi Q)$ . Отметим, что на начальных этапах наблюдения (при  $\nu t > 0.75$ ) режим движения частиц был близок к диффузионному, т. е. значения  $\langle \Delta x^2 \rangle \cong \langle \Delta y^2 \rangle \cong \langle \Delta z^2 \rangle$  были практически пропорциональны времени наблюдения  $t$ . С ростом времени (с ростом  $\nu t$ ) кривые  $D_R^2$  стремились к постоянному значению, примерно равному  $1/3$ . При этом длительность участков с динамикой отдельных частиц, близкой к диффузионному режиму движения, а также время перехода функции  $D_R^2(\nu t)$  к постоянному значению, увеличивались с ростом размера системы ( $R \cong (3N/4\pi n)^{1/3}$ ) и параметра  $\Gamma$ . Последнее обстоятельство отражает влияние температуры частиц на скорость их теплового движения.

#### 4. ЗАКЛЮЧЕНИЕ

В настоящей работе представлены результаты аналитического и численного исследований динамики ограниченных ансамблей заряженных броуновских частиц в потенциальном поле электростатической ловушки. Моделирование выполнялось для кластерных систем, состоящих из частиц (приблизительно до тысячи) с кулоновским взаимодействием, в широком диапазоне их параметров. Выполнено сравнение спектральных и структурных характеристик моделируемых систем. Исследована временная зависимость среднеквадратичных смещений отдельных частиц в ограниченных ансамблях.

Представлен анализ зависимостей формы парной корреляционной функции  $g(l)$  и размеров кластерных систем от температуры и количества частиц. Численное моделирование показало, что для анализа положения первого пика функций  $g(l)$  и оценки радиуса неидеальных систем при параметре  $\Gamma \geq 1$  могут быть использованы аналитические соотношения, полученные в приближении однородной системы. С дальнейшим уменьшением параметра неидеальности  $\Gamma$  до  $\Gamma \sim 0.1$  и далее наблюдалось заметное увеличение размеров ансамбля. Так, при  $\Gamma < 0.01$  ( $\gamma > 1$ ) величина эффективного радиуса системы становилась пропорциональной тепловой скорости частиц и достигала значений  $(2T/M\omega_t^2)^{1/2}$ . При этом как парные корреляционные функции, так и распределения концентраций частиц в электростатической ловушке хорошо описывались функцией, пропорциональной нормальному распределению Гаусса.

Исследована связь спектральной плотности смещений центра масс и отдельных частиц со структурными характеристиками и параметром неидеальности моделируемых ансамблей. Получено, что для слабонеидеальных систем ( $\Gamma < 0.01$ ,  $\gamma > 1$ ) их динамические и структурные характеристики, а также форма распределения спектральной плотности не зависят от числа частиц в анализируемых ансамблях. При этом характерные частоты таких ансамблей могут быть получены путем аналитического решения системы уравнений для одной заряженной частицы с помощью известных аналитических соотношений. Показано, что с ростом величины  $\Gamma$  (при  $\Gamma > 0.1$ ) характерная частота спектра смещается в сторону меньших частот относительно частоты колебаний центра масс системы.

Результаты настоящей работы применимы для ограниченных систем при любом типе попарных взаимодействий и могут быть полезны для раз-

работки новых методов диагностики физических характеристик таких систем, а также для анализа условий формирования различных кластеров, которые представляют интерес в физике плазмы, медицине, биологии, физике полимеров и коллоидных систем.

Работа выполнена при частичной финансовой поддержке РФФИ (грант № 16-08-00594), а также в рамках Программы Президиума РАН.

## ЛИТЕРАТУРА

1. *Photon Correlation and Light Beating Spectroscopy*, ed. by H. Z. Cummins and E. R. Pike, Plenum, New York (1974).
2. Я. И. Френкель, *Кинетическая теория жидкостей*, Наука, Ленинград (1975).
3. R. Balescu, *Equilibrium and Nonequilibrium Statistical Mechanics*, Wiley Interscience, Chichester (1975).
4. А. А. Овчинников, С. Ф. Тимашев, А. А. Белый, *Кинетика диффузионно-контролируемых химических процессов*, Химия, Москва (1986).
5. О. С. Ваулина, О. Ф. Петров, В. Е. Фортов, А. Г. Храпак, С. А. Храпак, *Пылевая плазма: эксперимент и теория*, Физматлит, Москва (2009).
6. *Complex and Dusty Plasmas*, ed. by V. E. Fortov and G. E. Morfill, CRC Press (2010).
7. О. С. Ваулина, К. Г. Адамович, ЖЭТФ **133**, 1091 (2008).
8. О. С. Ваулина, К. Г. Адамович, О. Ф. Петров, В. Е. Фортов, ЖЭТФ **134**, 367 (2008).
9. О. С. Ваулина, Е. А. Лисин, А. В. Гавриков, О. Ф. Петров, В. Е. Фортов, ЖЭТФ **137**, 751 (2010).
10. O. S. Vaulina and E. A. Lisin, Phys. Plasmas **16**, 113702 (2009).
11. В. Е. Фортов, О. Ф. Петров, О. С. Ваулина, К. Г. Косс, Письма в ЖЭТФ **97**, 366 (2013).
12. G. A. Hebner, M. E. Riley, and K. E. Greenberg, Phys. Rev. E **66**, 046407 (2002).
13. O. S. Vaulina and I. E. Drangevski, Phys. Scripta **73**, 577 (2006).
14. Ю. П. Райзер, *Физика газового разряда*, Наука, Москва (1987).
15. H. Totsuji, T. Kishimoto, Y. Inoue et al., Phys. Lett. A **221**, 215 (1996).
16. H. Totsuji, T. Kishimoto, and C. Totsuji, Phys. Rev. Lett. **78**, 3113 (1997).
17. R. Huang, I. Chavez, K. M. Taute et al., Nat. Phys. **7**, 576 (2011).
18. P. N. Pusey, Science **332**, 802 (2011).
19. S. Chandrasekhar, Rev. Mod. Phys. **15**, 1 (1943).
20. А. А. Воронов, *Теория автоматического управления*, ч. 2, Вышп. шк., Москва (1986).
21. A. N. Morozov and A. V. Skripkin, Phys. Lett. A **375**, 4113 (2011).
22. А. А. Щегольков, Молодежный научно-технический вестник **8**, 24 (2013).
23. S. Ichimaru, Rev. Mod. Phys. **54**, 1017 (1982).